

# Starkniederschlagshöhen und -spenden gemäß KOSTRA-DWD-2020

## Rasterfeld 191168

(Zeile 191, Spalte 168)

### Regenspende und Bemessungsniederschlagswerte in Abhängigkeit von Wiederkehrzeit T und Dauerstufe D

| Dauerstufe D |     | Wiederkehrzeit T |            |      |            |      |            |       |            |       |            |       |            |       |            |       |            |       |            |
|--------------|-----|------------------|------------|------|------------|------|------------|-------|------------|-------|------------|-------|------------|-------|------------|-------|------------|-------|------------|
|              |     | 1 a              |            | 2 a  |            | 3 a  |            | 5 a   |            | 10 a  |            | 20 a  |            | 30 a  |            | 50 a  |            | 100 a |            |
| min          | Std | mm               | l / (s ha) | mm   | l / (s ha) | mm   | l / (s ha) | mm    | l / (s ha) | mm    | l / (s ha) | mm    | l / (s ha) | mm    | l / (s ha) | mm    | l / (s ha) | mm    | l / (s ha) |
| 5            |     | 7,2              | 240,0      | 8,9  | 296,7      | 9,9  | 330,0      | 11,2  | 373,3      | 13,1  | 436,7      | 15,1  | 503,3      | 16,4  | 546,7      | 18,1  | 603,3      | 20,5  | 683,3      |
| 10           |     | 9,6              | 160,0      | 11,8 | 196,7      | 13,2 | 220,0      | 14,9  | 248,3      | 17,5  | 291,7      | 20,1  | 335,0      | 21,9  | 365,0      | 24,1  | 401,7      | 27,3  | 455,0      |
| 15           |     | 11,2             | 124,4      | 13,7 | 152,2      | 15,2 | 168,9      | 17,3  | 192,2      | 20,2  | 224,4      | 23,3  | 258,9      | 25,3  | 281,1      | 27,9  | 310,0      | 31,6  | 351,1      |
| 20           |     | 12,3             | 102,5      | 15,1 | 125,8      | 16,8 | 140,0      | 19,0  | 158,3      | 22,3  | 185,8      | 25,6  | 213,3      | 27,8  | 231,7      | 30,7  | 255,8      | 34,8  | 290,0      |
| 30           |     | 14,0             | 77,8       | 17,1 | 95,0       | 19,1 | 106,1      | 21,6  | 120,0      | 25,3  | 140,6      | 29,1  | 161,7      | 31,6  | 175,6      | 34,9  | 193,9      | 39,6  | 220,0      |
| 45           |     | 15,8             | 58,5       | 19,3 | 71,5       | 21,5 | 79,6       | 24,4  | 90,4       | 28,6  | 105,9      | 32,9  | 121,9      | 35,7  | 132,2      | 39,4  | 145,9      | 44,7  | 165,6      |
| 60           | 1   | 17,1             | 47,5       | 21,0 | 58,3       | 23,4 | 65,0       | 26,6  | 73,9       | 31,1  | 86,4       | 35,8  | 99,4       | 38,8  | 107,8      | 42,9  | 119,2      | 48,6  | 135,0      |
| 90           | 1,5 | 19,2             | 35,6       | 23,6 | 43,7       | 26,3 | 48,7       | 29,8  | 55,2       | 34,9  | 64,6       | 40,1  | 74,3       | 43,6  | 80,7       | 48,1  | 89,1       | 54,5  | 100,9      |
| 120          | 2   | 20,8             | 28,9       | 25,5 | 35,4       | 28,5 | 39,6       | 32,3  | 44,9       | 37,8  | 52,5       | 43,5  | 60,4       | 47,2  | 65,6       | 52,1  | 72,4       | 59,1  | 82,1       |
| 180          | 3   | 23,3             | 21,6       | 28,6 | 26,5       | 31,8 | 29,4       | 36,1  | 33,4       | 42,3  | 39,2       | 48,6  | 45,0       | 52,8  | 48,9       | 58,3  | 54,0       | 66,1  | 61,2       |
| 240          | 4   | 25,2             | 17,5       | 30,9 | 21,5       | 34,4 | 23,9       | 39,1  | 27,2       | 45,7  | 31,7       | 52,6  | 36,5       | 57,1  | 39,7       | 63,0  | 43,8       | 71,5  | 49,7       |
| 360          | 6   | 28,1             | 13,0       | 34,5 | 16,0       | 38,4 | 17,8       | 43,6  | 20,2       | 51,0  | 23,6       | 58,7  | 27,2       | 63,8  | 29,5       | 70,4  | 32,6       | 79,8  | 36,9       |
| 540          | 9   | 31,4             | 9,7        | 38,5 | 11,9       | 42,9 | 13,2       | 48,6  | 15,0       | 56,9  | 17,6       | 65,5  | 20,2       | 71,1  | 21,9       | 78,5  | 24,2       | 89,0  | 27,5       |
| 720          | 12  | 33,9             | 7,8        | 41,6 | 9,6        | 46,3 | 10,7       | 52,5  | 12,2       | 61,5  | 14,2       | 70,8  | 16,4       | 76,8  | 17,8       | 84,8  | 19,6       | 96,2  | 22,3       |
| 1080         | 18  | 37,8             | 5,8        | 46,3 | 7,1        | 51,6 | 8,0        | 58,6  | 9,0        | 68,6  | 10,6       | 78,9  | 12,2       | 85,7  | 13,2       | 94,5  | 14,6       | 107,2 | 16,5       |
| 1440         | 24  | 40,8             | 4,7        | 50,1 | 5,8        | 55,8 | 6,5        | 63,3  | 7,3        | 74,1  | 8,6        | 85,2  | 9,9        | 92,5  | 10,7       | 102,1 | 11,8       | 115,8 | 13,4       |
| 2880         | 48  | 49,1             | 2,8        | 60,2 | 3,5        | 67,1 | 3,9        | 76,2  | 4,4        | 89,2  | 5,2        | 102,6 | 5,9        | 111,4 | 6,4        | 122,9 | 7,1        | 139,4 | 8,1        |
| 4320         | 72  | 54,8             | 2,1        | 67,1 | 2,6        | 74,8 | 2,9        | 84,9  | 3,3        | 99,4  | 3,8        | 114,3 | 4,4        | 124,1 | 4,8        | 137,0 | 5,3        | 155,4 | 6,0        |
| 5760         | 96  | 59,1             | 1,7        | 72,5 | 2,1        | 80,8 | 2,3        | 91,7  | 2,7        | 107,3 | 3,1        | 123,5 | 3,6        | 134,1 | 3,9        | 147,9 | 4,3        | 167,8 | 4,9        |
| 7200         | 120 | 62,8             | 1,5        | 77,0 | 1,8        | 85,7 | 2,0        | 97,3  | 2,3        | 113,9 | 2,6        | 131,1 | 3,0        | 142,3 | 3,3        | 157,0 | 3,6        | 178,1 | 4,1        |
| 8640         | 144 | 65,9             | 1,3        | 80,8 | 1,6        | 90,0 | 1,7        | 102,1 | 2,0        | 119,6 | 2,3        | 137,6 | 2,7        | 149,4 | 2,9        | 164,8 | 3,2        | 186,9 | 3,6        |
| 10080        | 168 | 68,7             | 1,1        | 84,2 | 1,4        | 93,8 | 1,6        | 106,4 | 1,8        | 124,6 | 2,1        | 143,4 | 2,4        | 155,7 | 2,6        | 171,7 | 2,8        | 194,8 | 3,2        |

# Starkniederschlagshöhen und -spenden gemäß KOSTRA-DWD-2020

## Rasterfeld 191168

(Zeile 191, Spalte 168)

### Örtliche Unsicherheiten in Abhängigkeit von Wiederkehrzeit T und Dauerstufe D

| Dauerstufe D |     | Wiederkehrzeit T |     |     |     |      |      |      |      |       |
|--------------|-----|------------------|-----|-----|-----|------|------|------|------|-------|
|              |     | 1 a              | 2 a | 3 a | 5 a | 10 a | 20 a | 30 a | 50 a | 100 a |
| min          | Std | ± %              | ± % | ± % | ± % | ± %  | ± %  | ± %  | ± %  | ± %   |
| 5            |     | 13               | 14  | 14  | 15  | 15   | 16   | 16   | 17   | 17    |
| 10           |     | 17               | 18  | 18  | 19  | 20   | 21   | 21   | 21   | 22    |
| 15           |     | 19               | 20  | 21  | 22  | 22   | 23   | 23   | 24   | 24    |
| 20           |     | 20               | 21  | 22  | 23  | 24   | 24   | 25   | 25   | 26    |
| 30           |     | 21               | 22  | 23  | 24  | 25   | 26   | 26   | 26   | 27    |
| 45           |     | 21               | 23  | 23  | 24  | 25   | 26   | 26   | 27   | 27    |
| 60           | 1   | 21               | 23  | 23  | 24  | 25   | 26   | 26   | 27   | 27    |
| 90           | 1,5 | 20               | 22  | 23  | 23  | 24   | 25   | 25   | 26   | 26    |
| 120          | 2   | 20               | 21  | 22  | 23  | 24   | 24   | 25   | 25   | 26    |
| 180          | 3   | 19               | 20  | 21  | 22  | 23   | 23   | 24   | 24   | 25    |
| 240          | 4   | 18               | 20  | 20  | 21  | 22   | 23   | 23   | 23   | 24    |
| 360          | 6   | 17               | 19  | 19  | 20  | 21   | 22   | 22   | 22   | 23    |
| 540          | 9   | 16               | 18  | 18  | 19  | 20   | 21   | 21   | 21   | 22    |
| 720          | 12  | 16               | 17  | 18  | 19  | 19   | 20   | 20   | 21   | 21    |
| 1080         | 18  | 16               | 17  | 17  | 18  | 19   | 19   | 20   | 20   | 20    |
| 1440         | 24  | 16               | 17  | 17  | 18  | 19   | 19   | 19   | 20   | 20    |
| 2880         | 48  | 18               | 18  | 18  | 18  | 19   | 19   | 19   | 20   | 20    |
| 4320         | 72  | 19               | 19  | 19  | 19  | 19   | 20   | 20   | 20   | 20    |
| 5760         | 96  | 20               | 20  | 20  | 20  | 20   | 20   | 21   | 21   | 21    |
| 7200         | 120 | 21               | 21  | 21  | 21  | 21   | 21   | 21   | 21   | 21    |
| 8640         | 144 | 22               | 21  | 21  | 21  | 22   | 22   | 22   | 22   | 22    |
| 10080        | 168 | 23               | 22  | 22  | 22  | 22   | 22   | 22   | 22   | 22    |

### Parameter für abweichende T und D

#### Lokationsparameter $\xi$ (Xi)

17,51288251

#### Skalenparameter $\alpha$ (Alpha)

5,50192905

#### Formparameter $\kappa$ (Kappa)

-0,1

#### 1. Koutsoyiannis-Parameter $\theta$ (Theta)

0,0291653

#### 2. Koutsoyiannis-Parameter $\eta$ (Eta)

0,73319138

Parameter für dauerstufenübergreifende Extremwertschätzung nach KOUTSOYIANNIS et al. 1998.

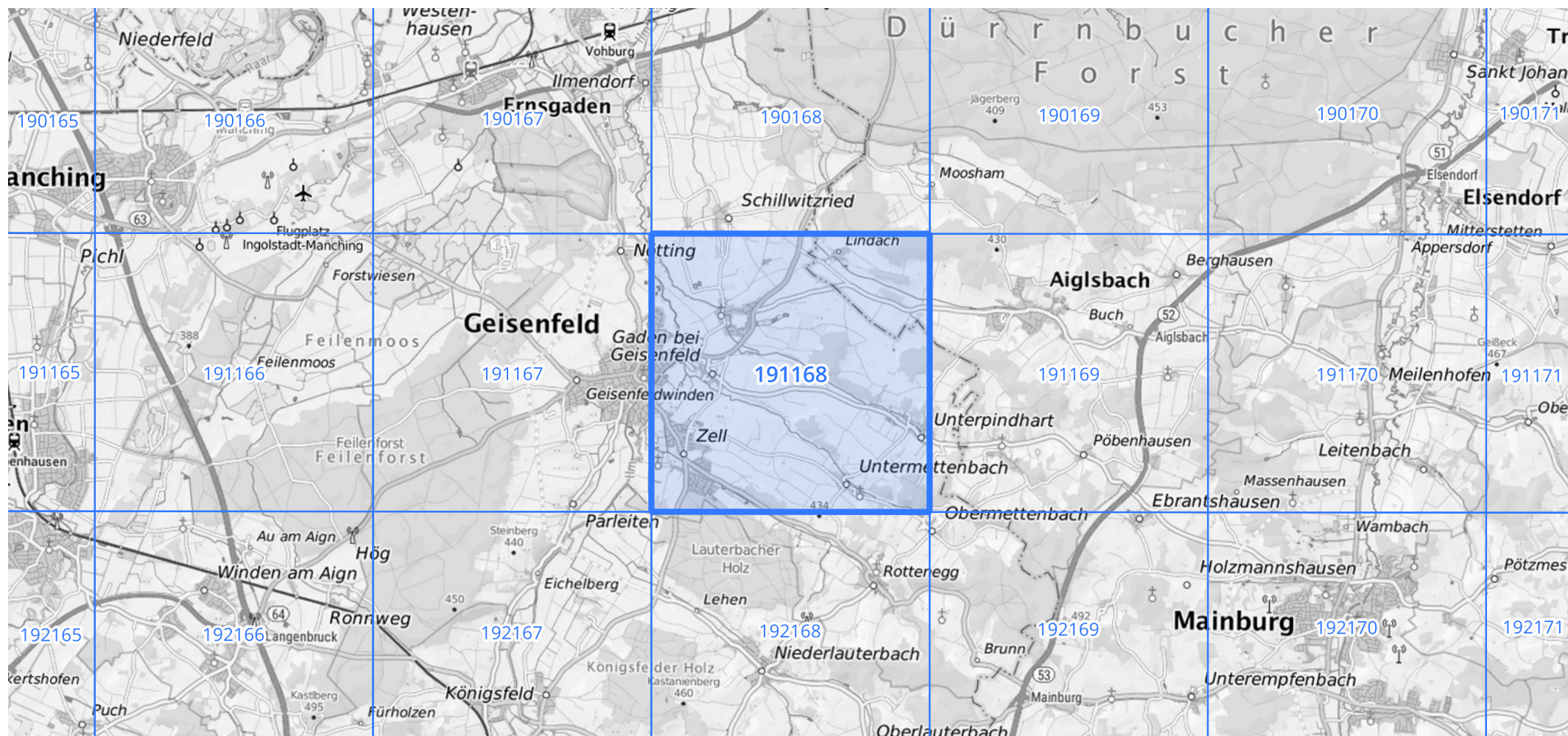
Siehe auch Anwendungshilfe zu KOSTRA-DWD-2020 des Deutschen Wetterdienstes.

## Starkniederschlagshöhen und -spenden gemäß KOSTRA-DWD-2020

## Rasterfeld 191168

(Zeile 191, Spalte 168)

Übersichtskarte des Rasterfeldes 191168, M 1 : 100 000



Quelle Rasterdaten: KOSTRA-DWD-2020 des Deutschen Wetterdienstes, Stand 12/2022.

Seite 3 von 3

Kartendarstellung: © Bundesamt für Kartographie und Geodäsie (2023), Datenquellen: [https://sgx.geodatenzentrum.de/web\\_public/gdz/datenquellen/Datenquellen\\_TopPlusOpen.html](https://sgx.geodatenzentrum.de/web_public/gdz/datenquellen/Datenquellen_TopPlusOpen.html)

Für die Richtigkeit und Aktualität der Angaben wird keine Gewähr übernommen. Erstellt 01/2023.